

آنالیز فوریۀ نتایج آزمایشها در توکامک الوند IIC

رضا امراللهی، مارکوس آواکیان، ساکو آواکیان
مرکز تحقیقات گداخت هسته‌ای - سازمان انرژی اتمی ایران

چکیده:

افتاخیزهای الکتریکی در پلاسمای توکامک الوند IIC به وسیلهٔ دوکاوندۀ (پروب) ^(۱) الکتروستاتیکی مورد مطالعه و بررسی قرار گرفت. برای تجزیه و تحلیل علامتهای (سیگنالهای) دریافتی از کاونده‌ها، شکل عددی آنها به رایانه داده شد و به وسیلهٔ آن طیف و تابع همبستگی علامتها تعیین گردید. در این مقاله، روش تحلیلی در پردازش علامتهای بکار رفته عرضه شده است: طیف افتاخیزهای پتانسیل شناور ^(۲) در نوار پهنی تقریباً از ۱ kHz تا ۲۰۰۰ kHz گسترده است. قله‌های منظمی در طیف مشاهده شده است که مربوط به مدهای مختلف (... و ۳ و ۲ و ۱) ممتی پلاسما می‌باشند. ارتعاشات پلاسما با سرعت فاز یکنواختی که مقدار متوسط آن حدود 10⁶ cm/sec است در جهت سوق دیامناطیسی یون‌ها انتشار می‌یابند. علامات دریافتی از کاونده‌ها در قله‌های طیف تقریباً هم‌دوسند و طول همبستگی سمتی تقریباً ۴ سانتی‌متر است.

۱- مقدمه:

انتقال غیر عادی ذرات و انرژی در پلاسماهای چنبره‌ای معمولاً به افتاخیزهای چگالی، دما و پتانسیل الکتریکی پلاسما نسبت داده می‌شود [۱]. برای بررسی این امر در توکامک الوند IIC، دستگاهی مستشکل از دو کاوندۀ الکتروستاتیکی طراحی و ساخته شد (شکل ۱). این دو کاونده را می‌توان در پلاسمای توکامک در سه راستای سمتی، شعاعی و محوری به فاصله‌های معین از یکدیگر، بدون آنکه حلال محفظهٔ پلاسما شکسته شود، قرارداد. با استفاده از این دستگاه کاونده، کیفیت افتاخیزها در پلاسمای توکامک الوند IIC مورد مطالعه و بررسی قرار گرفت. نتیجهٔ حاصل مؤید این نظر بود که انتقال غیر عادی انرژی و ذرات در پلاسمای توکامک الوند IIC به علت ناپایداریهای پارگی است که با ناپایداریهای سوقی پلاسمای حامل جریان تقویت می‌گردد. در پردازش علامتها از آنالیز فوریه استفاده شد.

۲- نظریه و روش کار

برای مطالعهٔ اصولی افتاخیزها در پلاسمای توکامک الوند IIC، علامتهای دو کاونده، پیش‌گفته را به رایانه داده‌ایم و طیف و تابع

همبستگی ^(۳) آنها را حساب کرده‌ایم. شیوهٔ تحلیلی که در این محاسبه بکار رفته به شرح زیر است:

فرض می‌کنیم علامتهای دو کاونده به صورت $f_1(t)$ و $f_2(t)$ باشد به طور یکه مقادیر هر یک از آنها در $2N$ نقطه با بازهٔ زمانی مساوی و مشخص، معلوم باشد. در مورد کار ما $2N=1024$ و این مقادیر با بازهٔ زمانی ۲ میکروثانیه معلوم می‌شوند. اگر مقادیر $f_1(t)$ را به $X_{1,\nu} = x_1(\nu t)$ نشان دهیم که در آن $\nu=0,1,2,3,\dots, 2N-1$ است سری فوریه $X_{1,\nu}$ به صورت زیر خواهد بود:

$$X_{1,\nu} = \frac{a_1(0)}{2} + \sum_{k=1}^{N-1} \left(a_1(k) \cos \frac{\pi \nu k}{N} + b_1(k) \sin \frac{\pi \nu k}{N} \right) + \frac{a_1(N)}{2} (-1)^\nu \quad (1)$$

1- probe

2- floating potential

3- correlation function

ضرب چگالی طیفی چنین تعریف می‌شود [۲]:

$$P_{12}(k) = F_1^*(k) F_2(k) = A_1^*(k) A_2(k) e^{i[\Theta_2(k) - \Theta_1(k)]} \equiv A(k) + iB(k) \quad (9)$$

و داریم:

$$\begin{aligned} F_1^*(k) F_2(k) &= [a_1(k) - ib_1(k)][a_2(k) + ib_2(k)] \\ &= a_1(k)a_2(k) + ia_1(k)b_2(k) - ib_1(k)a_2(k) \\ & \quad a_2(k) + b_1(k)b_2(k) \equiv A(k) + B(k) \end{aligned}$$

بنابراین خواهیم داشت:

$$A(k) = a_1(k)a_2(k) + b_1(k)b_2(k) \quad (11)$$

$$B(k) = a_1(k)b_2(k) - b_1(k)a_2(k) \quad (12)$$

چون دامنه و فاز تابع توان ضربی چگالی طیفی، تابع‌های همواری از k نیستند، مقدار متوسط آنها در گستره k به صورت زیر حساب شده است:

$$AMPLITUDE(k') = \left[\bar{A}(k')^2 + \bar{B}(k')^2 \right]^{1/2} \quad (13)$$

$$PHASE(k') = ATAN \left[\bar{B}(k') / \bar{A}(k') \right] \quad (14)$$

که در آن $\bar{A}(k')$ و $\bar{B}(k')$ به ترتیب مقادیر متوسط $A(k)$ و $B(k)$ روی نقاط $k' - i, k' - (i+1), \dots, k', \dots, k' + i - 1, k' + i$ و i عدد صحیح، $k' \geq i$ و $k' + i \leq 512$ است. به عنوان مثال $\bar{A}(k')$ برابر است با:

$$F_1(k) = a_1(k) + ib_1(k) = \frac{1}{NT} \int_0^{2\pi} x_1(t) e^{-i\pi kt/NT} dt; \quad k=0,1,2,3,\dots,N \quad (2)$$

به همین ترتیب برای $F_2(k)$ داریم:

$$F_2(k) = a_2(k) + ib_2(k) = \frac{1}{NT} \int_0^{2\pi} x_2(t) e^{-i\pi kt/NT} dt; \quad k=0,1,2,3,\dots,N \quad (3)$$

در این صورت دامنه علامت هر یک از کاوندها در بسامد مشخصی از طیف فوری چنین خواهد بود:

$$AMP [F_1(k)] = [a_1^2(k) + b_1^2(k)]^{1/2} \quad (4)$$

$$AMP [F_2(k)] = [a_2^2(k) + b_2^2(k)]^{1/2} \quad (5)$$

و زاویه فاز بین دو علامت در بسامد مشخص چنین است:

$$\Theta(k) = ATAN \left[\frac{b_1(k)}{a_1(k)} \right] - ATAN \left[\frac{b_2(k)}{a_2(k)} \right]; \quad k=0,1,2,3,\dots,N \quad (6)$$

برای اجتناب از محدودیتی که رایانه در محاسبه زاویه فاز بوجود می‌آورد تابع توان ضربی چگالی طیفی^(۴) حساب شد. اگر سری فوری علامتهای هر یک از کاوندها را به صورت زیر در نظر بگیریم:

$$F_1(k) = A_1(k) e^{i\Theta_1(k)}; \quad k=0,1,2,3,\dots,512 \quad (7)$$

$$F_2(k) = A_2(k) e^{i\Theta_2(k)}; \quad k=0,1,2,3,\dots,512 \quad (8)$$

که در آنها $A_1(k)$ و $A_2(k)$ متغیرهای حقیقی هستند، تابع توان

$$\bar{A}(k') = \frac{W(-i)A(k'-i) + W(-i+1)A(k'-i+1) + \dots + W(+i)A(k'+i)}{NF} \quad (15)$$

که در آن W تابع وزن است و داریم:

$$G^*(f) = \int_{-\infty}^{+\infty} g(t)e^{i2\pi ft} dt \quad (18)$$

$$K(f) = \int_{-\infty}^{+\infty} k(t)e^{i2\pi ft} dt \quad (19)$$

$$NF = \sum_{l=-i}^{+i} W(l) \quad (16)$$

تابع ضربی همبستگی^(۵) مربوط به دو علامت کاونده‌ها یا پیچک^(۶) آنها نیز محاسبه شد. برای دو تابع حقیقی نسبت به ۱ مانند $k(t)$ و $g(t)$ تابع ضربی همبستگی به صورت زیر تعریف می‌شود^[۳ و ۴]:

$$\rho(\tau) = \int_{-\infty}^{+\infty} g(t)k(t+\tau)dt \quad (17)$$

بنابراین، می‌توان انتظار داشت که سرعت‌های فاز حساب شده برای افتاخیز الکتریکی به وسیله تابع ضربی همبستگی، با سرعت‌های فاز حساب شده به وسیله تابع توان ضربی چگالی طیفی یکسان باشند و این امر در عمل به اثبات رسید.

تابع همبستگی بهنجار به کمک علامتهای حاصل از دو کاونده که مقدار هر یک از آنها در ۰.۲۴۱۰ نقطه معین شده‌اند به وسیله دو رابطه زیر حساب می‌شوند.

بنابر قضیه پیچک^[۳]، انتگرال (۱۷) دارای تبدیل فوری‌ای به صورت $G^*(f)K(f)$ است که در آن:

$$\rho_1(IA) = \frac{\frac{1}{1025-IA} \sum_{m=1}^{1025-IA} \tilde{x}_1 [(m-1)T] \tilde{x}_2 [((m-2)+IA)T]}{\frac{1}{1024} \left[\left[\sum_{m=1}^{1024} \tilde{x}_1^2 [(m-1)T] \right] \left[\sum_{m=1}^{1024} \tilde{x}_2^2 [(m-1)T] \right] \right]^{\frac{1}{2}}} \quad (20)$$

$$\rho_2(IA) = \frac{\frac{1}{1025-IA} \sum_{m=1}^{1025-IA} \tilde{x}_2 [(m-1)T] \tilde{x}_1 [((m-2)+IA)T]}{\frac{1}{1024} \left[\left[\sum_{m=1}^{1024} \tilde{x}_1^2 [(m-1)T] \right] \left[\sum_{m=1}^{1024} \tilde{x}_2^2 [(m-1)T] \right] \right]^{\frac{1}{2}}}; IA = 1, 2, 3, \dots, 1024 \quad (21)$$

5- cross correlation function

6- convolution



که در آن:

$$\tilde{x}_1(mT) = x_1(mT) - \bar{x}_1 \quad (22)$$

و

$$\tilde{x}_2(mT) = x_2(mT) - \bar{x}_2; m=0,1,2,\dots,1023 \quad (23)$$

انتخاب شده، دستگاه ثبت‌ات به مدت ۲ میلی‌ثانیه و در هر ۲ میکروثانیه یک بار علامت کاونده‌ها را به صورت ارقام در خود ذخیره می‌کند و تا وصول دستور ثبت بعدی آنرا نگه می‌دارد و برای پردازش به رایانه می‌دهد. نمونه‌ای از علامتهای دو کاونده در شکل ۲ نشان داده شده است. سری فوریه این علامتها حساب شده است و شکل ۳ طیف آنرا نشان می‌دهد. به طوری که ملاحظه می‌شود طیف تا بسامد ۲۰۰ کیلوهرتز ادامه می‌یابد. از محاسبه دامنه و فاز متوسط تابع توان ضربی چگالی طیفی با روابط ۱۳ و ۱۴، طیف واضحتری بدست آمد. دامنه، قله‌های مجزایی را در بسامدهای خاص نشان داد و اختلاف فاز بین علامتهای کاونده‌ها تغییر خطی با بسامد را به نمایش گذاشت (شکل ۴). تغییرات خطی اختلاف فاز برای فاصله سمتی ثابت کاونده‌ها گویای این مطلب است که پریشیدگیهای سمتی با سرعت فاز ثابتی انتشار می‌یابند. بنابراین اگر پریشیدگیهایی از هر نوع با بستگی سمتی به صورت $e^{i(m\theta - \omega t)}$ در پلاسما وجود داشته باشد، باید انتظار داشت که قله‌هایی در بسامدهای $f = m\nu_p / 2\pi\tau$ در طیف مشاهده شوند. در این رابطه، ν_p سرعت فاز سمتی پریشیدگی، m عدد مُد پریشیدگی و τ فاصله نقطه آزمایش تا مرکز پلاسما است. با استفاده از شیب مناسبترین خط مار بر نقاط آزمایش (شکل ۴)، مقدار سرعت فاز مشخص می‌شود:

$$\theta = \frac{\omega x}{\nu_p} = \frac{2\pi x}{\nu_p} f$$

$$\text{TAN} \frac{\Delta\theta}{\Delta f} = \frac{2\pi x}{\nu_p} \quad \& \quad x=2 \Rightarrow \nu_p = 1.2 \times 10^6 \text{ cm/sec}$$

و با معلوم بودن τ می‌توان بسامد مدهای سمتی را حساب کرد. نتایج این محاسبات و دامنه تابع توان ضربی چگالی طیفی برای دو تخلیه مختلف توکامک در شکل ۵ نشان داده شده است. ملاحظه می‌شود که بسامد قله‌ها در طیف و بسامدهای حساب شده همخوانی خوبی با هم دارند. این همخوانی در تمام تخلیه‌های توکامک در این آزمایشها (متجاوز از ۴۰۰ تخلیه) مشاهده شد. بنابراین می‌توان

\bar{x}_1 و \bar{x}_2 مقادیر متوسط $x_1(mT)$ و $x_2(mT)$ در گستره $m=0,1,2,\dots,1023$ می‌باشد. تابع همبستگی است وقتی $\rho_1(IA)$ نسبت به x_1 اندازه‌گیری شده باشند و برعکس، $\rho_2(IA)$ تابع همبستگی است وقتی که x_2 در زمانهای دیرتری نسبت به x_1 اندازه‌گیری شده باشند. لازم به یادآوری است که متوسط تابع توان ضربی چگالی طیفی با استفاده از تابع وزن گوسی در گستره بسامد، معادل ضرب تابع همبستگی در یک تابع گوسی در گستره زمان می‌باشد [۴].

و بالاخره با بهنجارش تابع توان ضربی چگالی طیفی به شرح زیر:

$$P_{11} = F_1^*(k) F_1(k) \quad (24)$$

$$P_{22} = F_2^*(k) F_2(k) \quad (25)$$

$$Y_{12}(k) = \frac{|F_1^*(k) F_2(k)|}{\left[F_1^*(k) F_1(k) \right]^{\frac{1}{2}} \left[F_2^*(k) F_2(k) \right]^{\frac{1}{2}}} \quad (26)$$

طیف همدوسی^(۷) بدست می‌آید:

$Y_{12}(k)$ میزانی از درجه همبستگی ضربی بین $f_1(t)$ و $f_2(t)$ در هر بسامد می‌باشد. اگر $Y_{12}(k)$ در بسامد معینی صفر باشد $f_1(t)$ و $f_2(t)$ همدوس نخواهند بود، ولی اگر $Y_{12}(k)$ برابر یک باشد آن دو همدوستند.

۳- نتایج آزمایش و بحث

خروجی دو کاونده به دو کانال دستگاه ثبت رقمی علایم گذرا^(۸) داده شد. در مدت تخلیه الکتریکی توکامک و در زمان

7- coherence spectrum
8-digital transient recorder

توکاماک است، به ویژه در توکاماکهای کوچک مانند توکاماک الوند IIC که دمای پلاسما در آن زیاد بالا نیست و فرستادن کاوند به داخل پلاسما اختلال زیادی در آن ایجاد نمی‌کند. این روش بر روشهای دیگر، مانند پراکندگی امواج میکروویو یا نور لیزر در پلاسما، از چند نظر مزیت دارد: زیرا، اولاً حجم پراکندگی در این روشها بزرگ است، به طوری که در آن منطقه از پلاسما میدان مغناطیسی و دما و چگالی هر یک به تنهایی می‌تواند مقادیر مختلف داشته باشد. بنابراین، تعدادی از پارامترهای فیزیکی که ممکن است بر پریشیدگیها اثر کنند نادیده گرفته می‌شوند یا قابل بررسی نیستند. ثانیاً تعیین جهت انتشار و طول همبستگی در جهت‌های شعاعی و سمتی با روش پراکندگی امکان‌پذیر نیست یا بسیار مشکل است. با آنالیز فوریة علامتهای دو کاوند که قبلاً بیشتر شباهت به نونه داشته‌اند، منحنی‌های معنی‌داری حاصل می‌شوند که می‌توان به وسیله آنها طیف، جهت و سرعت انتشار و طول همبستگی پریشیدگی را حساب کرد.

تشکر و قدردانی

از آقای جهانگیر بهروزی‌نیا به خاطر انجام آزمایشها، از آقای مهندس عباس بیات جهت ساخت قسمتهای شیشه‌ای کاوندها و جوشهای شیشه به فلز مورد نیاز، و از آقای عباسعلی فلاح‌مراد برای تراشیدن قسمتهای دقیق فلزی کاوندها تشکر می‌شود.

گفت که قله‌های مشاهده شده مربوط به مدهای ویژه پلاسما می‌باشد.

از روی دامنه طیف، برطبق رابطه (۲۶)، طیف همدوسی حساب شد. شکل‌های ۶ و ۷ نمونه‌هایی از این دو منحنی می‌باشند. همدوسی در قله‌های دامنه تقریباً ۰/۷۵ است و نشان می‌دهد که علامتهای دو کاوند در بسامدهای مربوط به قله‌ها تقریباً همدوس می‌باشند.

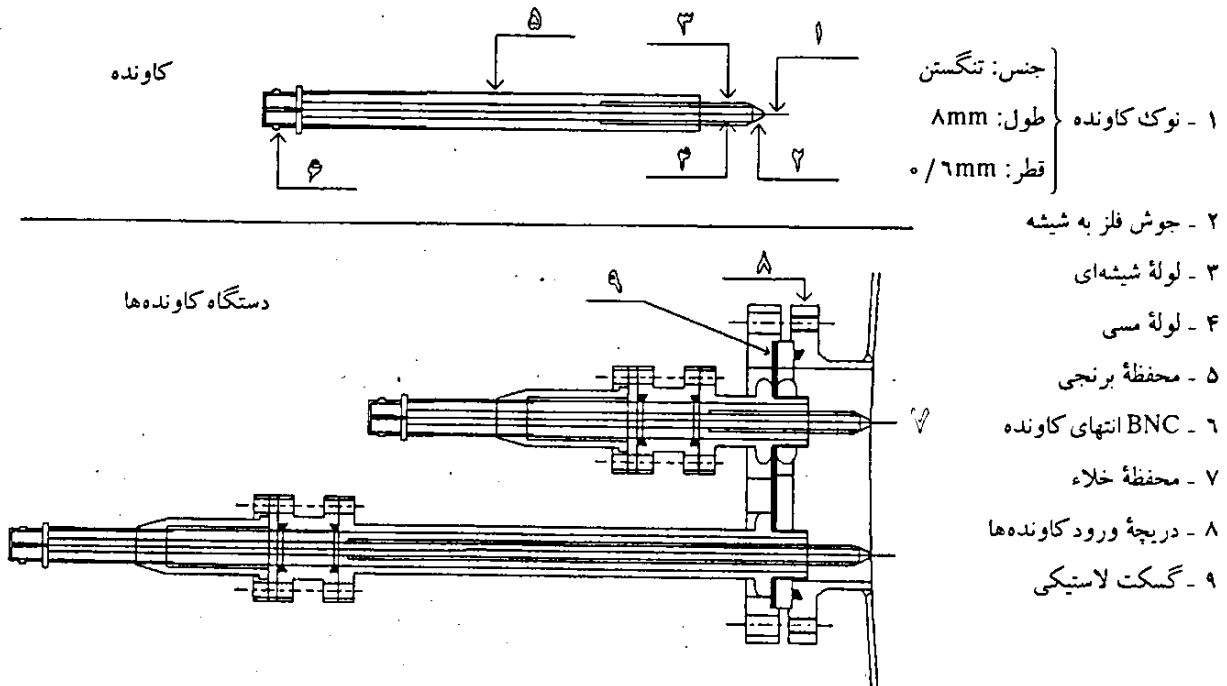
با تغییر دادن فاصله بین دو کاوند در جهت سمتی، طول همبستگی^(۹) پریشیدگیها برآورد گردید. تابع همبستگی بهنجار شده برای فواصل مختلف کاوندها (X) در شکل ۸ نشان داده شده است. وقتی فاصله میان کاوندها به چهار سانتیمتر برسد همبستگی به تقریباً ۰/۲۵ تقلیل می‌یابد. از تغییر محل قله منحنیها نسبت به تأخیر زمانی صفر، این نتیجه بدست آمد که سرعت فاز در جهت سواق دیس‌مغناطیسی یون و مقدار آن

$$\bar{v}_p = \left(\frac{\Delta x}{\Delta t} \right) = 1.23 \times 10^6 \text{ cm/sec}$$

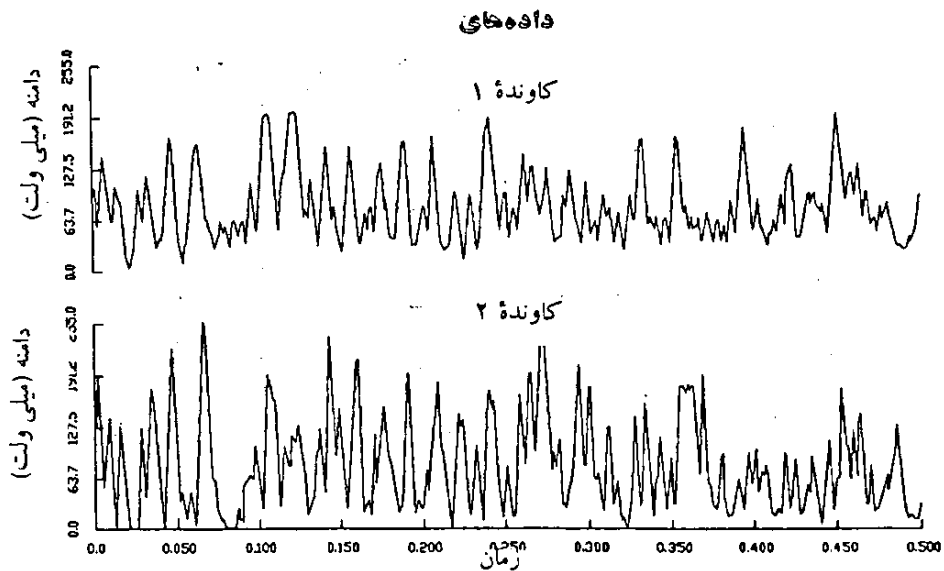
خوبی با سرعت محاسبه شده از تابع توان ضریبی چگالی طیفی دارد (این همخوانی را از تئوری پیچک نیز انتظار داشتیم).

نتیجه:

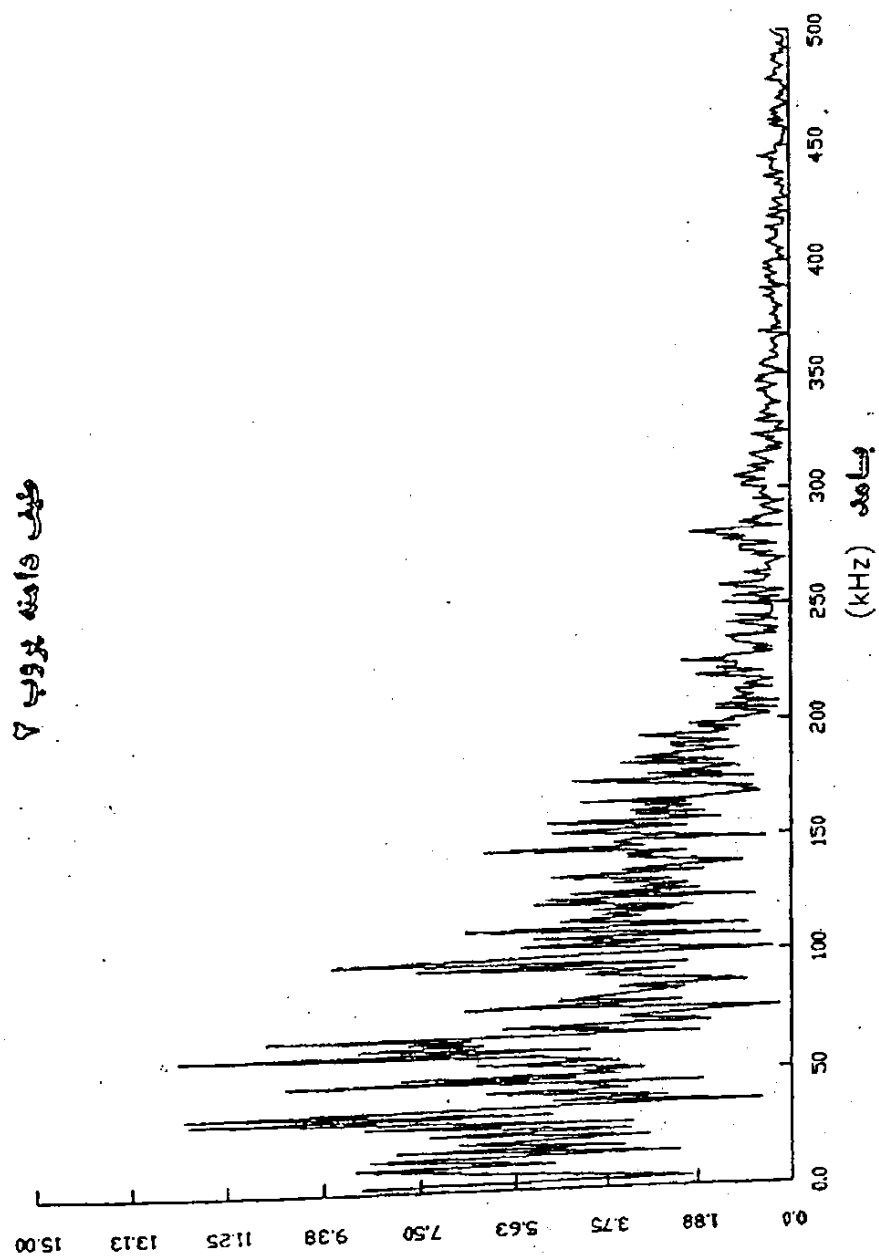
از راه آنالیز فوریة علامتهای دو کاوند الکتروستاتیکی، که به فاصله تغییرپذیر در جهت‌های سمتی بزرگ و کوچک و شعاعی در پلاسمای توکاماک قرار می‌گیرند، می‌توان مشخصات افتاخیز الکتریکی را در پلاسما به خوبی تعیین کرد. استفاده از دو کاوند الکتروستاتیکی روش مناسبی برای مطالعه پریشیدگیها در پلاسمای



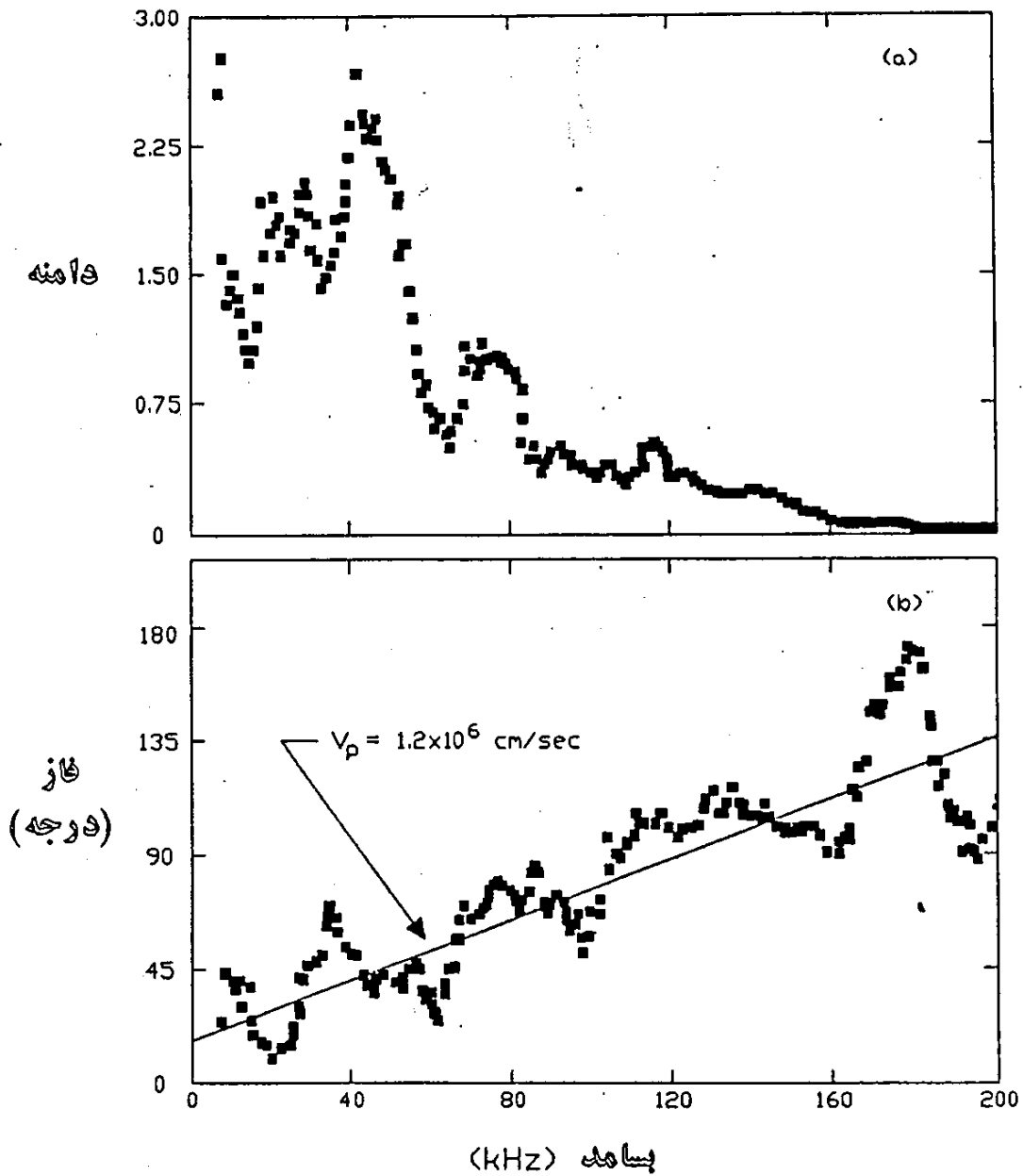
شکل ۱: کاونده الکترواستاتیک بکار رفته در مطالعه افتاخیز پلاسما، کاونده پایینی فقط در جهت شعاعی حرکت می‌کند و کاونده بالایی هم در جهت شعاعی جلو و عقب می‌رود و هم در یک مخروط با زاویه راس ۲۰ درجه می‌تواند حرکت کند.



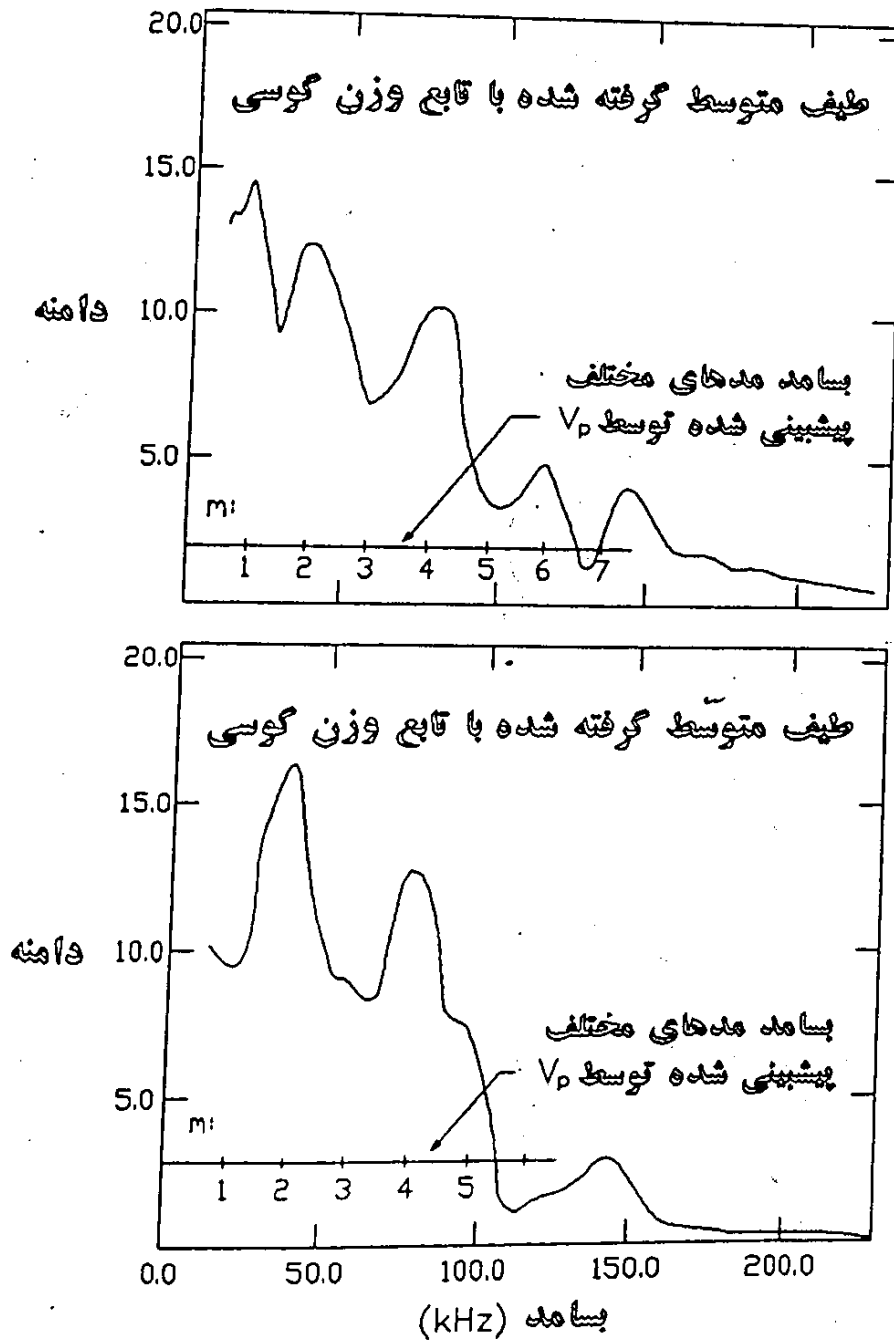
شکل ۲: نمونه‌ای از علامت (سیگنال) کاونده‌ها که در زمان ۲ تا ۲/۵ میلی ثانیه بعد از تشکیل پلاسما گرفته شده است. فاصله کاونده‌ها از مرکز پلاسما $r=10\text{cm}$ و فاصله سمتی بین کاونده‌ها $x=2\text{cm}$



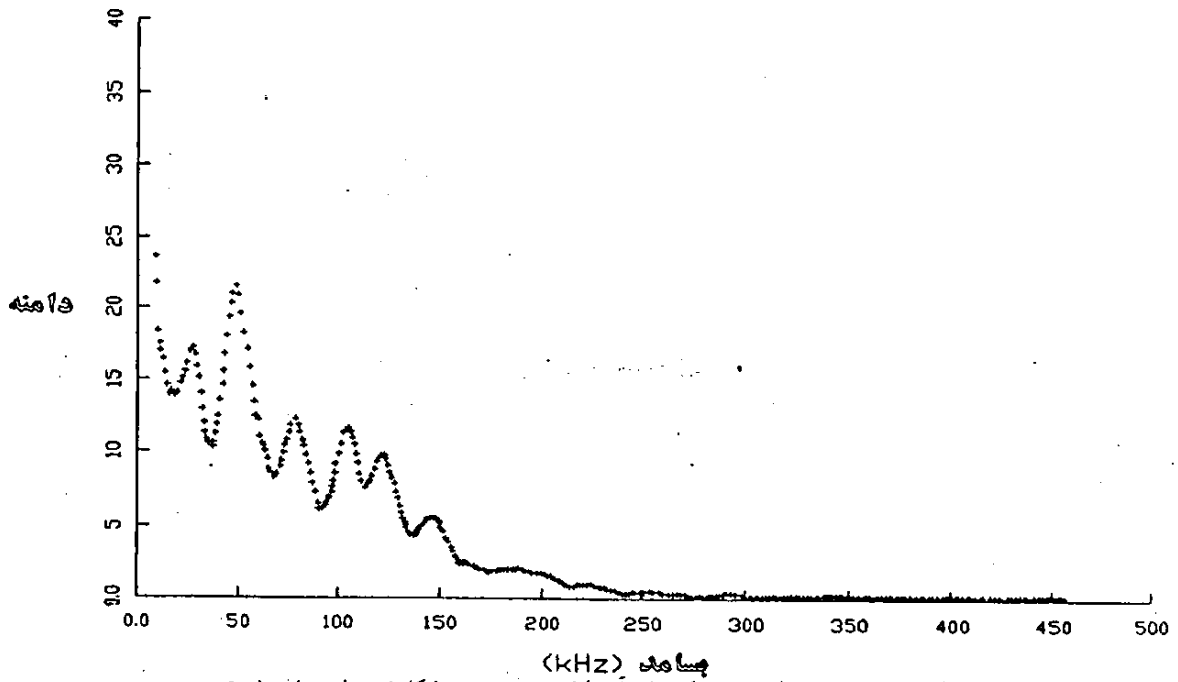
شکل ۳: سری فوریة سیگنال کاونده شماره ۲ در شکل ۲



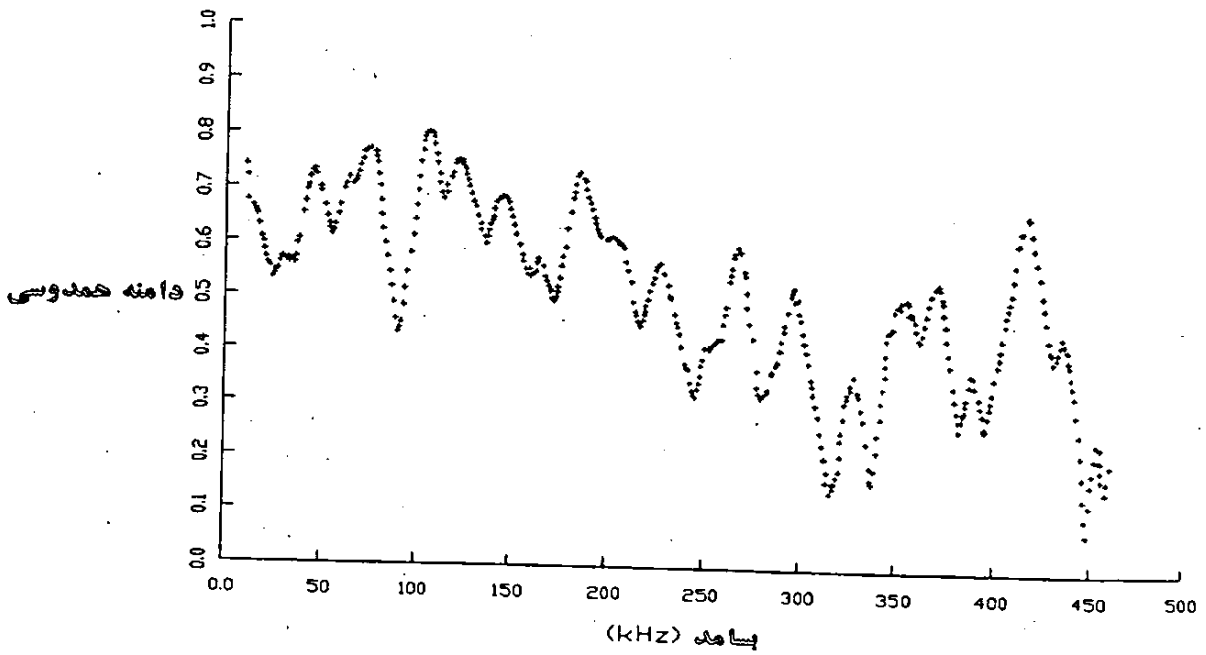
شکل ۴: مقدار متوسط دامنه (a) و فاز (b) تابع توان ضربه‌ی چگالی طیفی برای علامتهای نشان داده شده در شکل ۲. از شیب خط ماربر نقاط مناسب فاز سرعت فاز $1/2 \times 10^6$ سانتی متر بر ثانیه حساب شد.



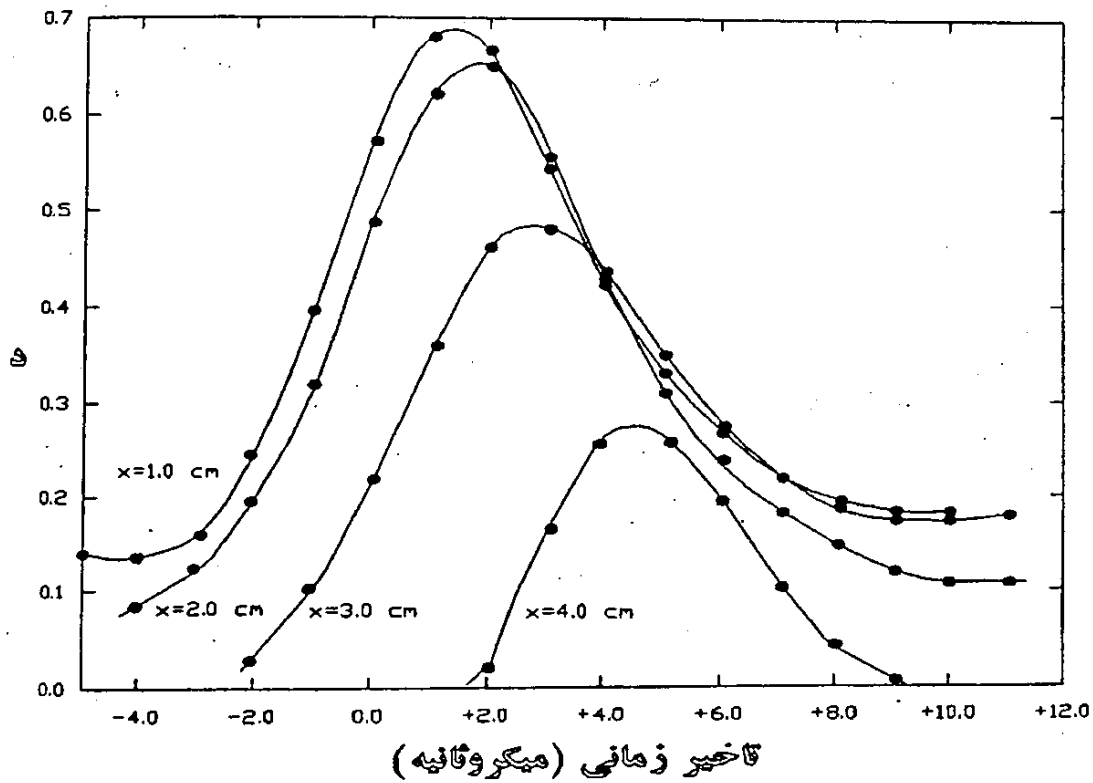
شکل 5: طیف دامنه متوسط برای دو تخلیه مختلف در توکامک، که همخوانی بین بسامد یکجا و بسامد مدهایی را که از طریق محاسبه با V_p انتظار داشتیم، نشان می دهد.



شکل ۶: نمونه‌ای از طیف دایمنه که برای آن طیف هم‌دوسی در شکل ۷ محاسبه شده است.



شکل ۷: طیف هم‌دوسی برای پلاسماهای مربوط به شکل ۶ (فاصله بین کارنده‌ها ۳ سانتی‌متر بوده است).



شکل ۸: تابع همبستگی بهنجار شده برای چند فاصله سمتی مختلف x $I_p = 25 \text{ kA}$, $B_T = 8 \text{ KG}$, $r = 10 \text{ cm}$, $t = 2-3 \text{ msec}$ نتایج از متوسط نتایج ۵ تخلیه توکاماک بدست آمده است.

References

1. M. Ender et al., Measurement and Modeling of Electrostatic Fluctuation in the Scrape-off Layer of ASDEX. Nuclear Fusion. vol. 35No.11, pp 1307-1339,(1995).
2. D.E. Smith et al., Fast-Fourier -Transform Spectral-Analysis techniques. IEEE Transactions on plasma science PS-2 pp 261-268, (1974).
3. Taub & Schilling, Principles of Communication Systems, McGraw-Hill 14th printing pp 3-35, (1983).
4. A. Bruce Carlson, Communication Systems, McGraw-Hill second edition, pp 16-84,(1975).



Fourier Analysis of Experimental results in ALVAND IIC Tokamak

R. Amrollahi, M. Avakian, S. Avakian

Plasma Physics and Fusion Research center

Atomic Energy Organization of Iran

Abstract:

An experimental investigation in the ALVAND IIC Tokamak plasma fluctuation has been carried out, using two spatially separated electrostatic probes. In order to study the fluctuation systematically the spectra and the correlation function were calculated from the digitized probe signals. In this article the analytical methods used for the signal processing are presented. The spectra extended from 1 kHz to roughly 200 kHz with regularly spaced peaks, which seems to be related to the specific azimuthal modes ($m=1,2,3,\dots$). The plasma waves travel azimuthally in the ion diamagnetic drift direction with a uniform average phase velocity of 10^6 cm/sec. The two probe signals were fairly coherent at the frequencies corresponding to the amplitude maxima, and the azimuthal correlation length was roughly 4 cm.